

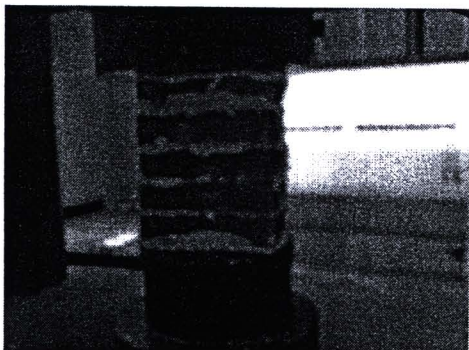
บทที่ 5

ผลการวิจัย

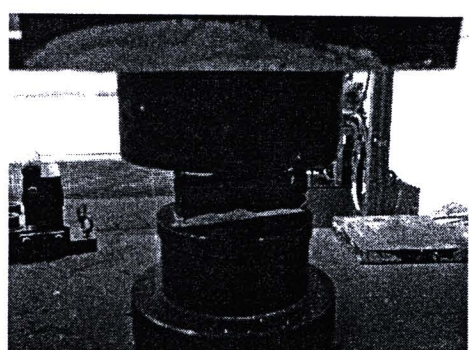
จากวิธีการศึกษาที่กล่าวมาแล้วในบทที่ผ่านมา ผลการศึกษามาตรแสดงได้ดังหัวข้อต่อไปนี้

5.1 ผลการทดสอบกำลังอัดประดับของแผงก่ออิฐขนาดเล็กตามมาตรฐาน ASTM 447

การทดสอบนี้เป็นการทดสอบหากำลังอัดประดับของ Prism ที่ก่อด้วยอิฐมวลอยุ่ โดยแบ่งการทดสอบออกเป็น 2 ส่วน คือ การทดสอบหากำลังอัดประดับของ Prism และการทดสอบหากำลังอัดประดับของก้อนอิฐมวลอยุ่ 1 ก้อน ดังแสดงในภาพที่ 5.1(ก) และ 5.1(ข) ตามลำดับ และผลการทดสอบสามารถแสดงในตารางที่ 5.1



(ก)



(ข)

ภาพที่ 5.1 การทดสอบ Prism และการทดสอบก้อนอิฐ 1 ก้อน

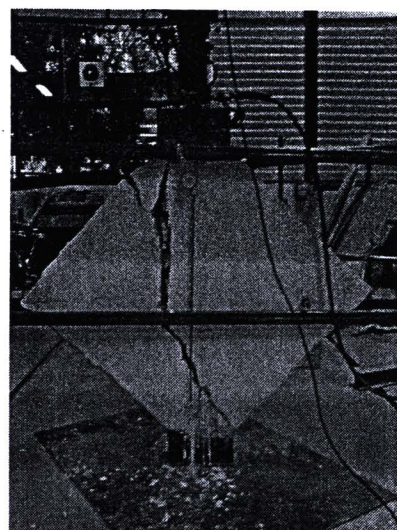
ตารางที่ 5.1 คุณสมบัติของอิฐมวลอยุ่

ขนาดเส้น周ของอิฐมวลอยุ่(cm)			กำลังรับแรงอัดของอิฐก้อนเดียว(ksc)	กำลังรับแรงอัดของอิฐที่เรียงตัวกันเป็นบริซิม(เฉลี่ย 3 ตัวอย่าง)(ksc)
กว้าง	ยาว	สูง		
6.1	13.8	3.3	60.32	37.38

5.2 ผลการทดสอบพฤติกรรมของผนังทึบเปล่าและผนังทึบที่โอบรัดด้วยโครงข้อแข็งคอนกรีตเสริมเหล็กภายใต้แรงเฉือนตามมาตรฐาน ASTM E519-02

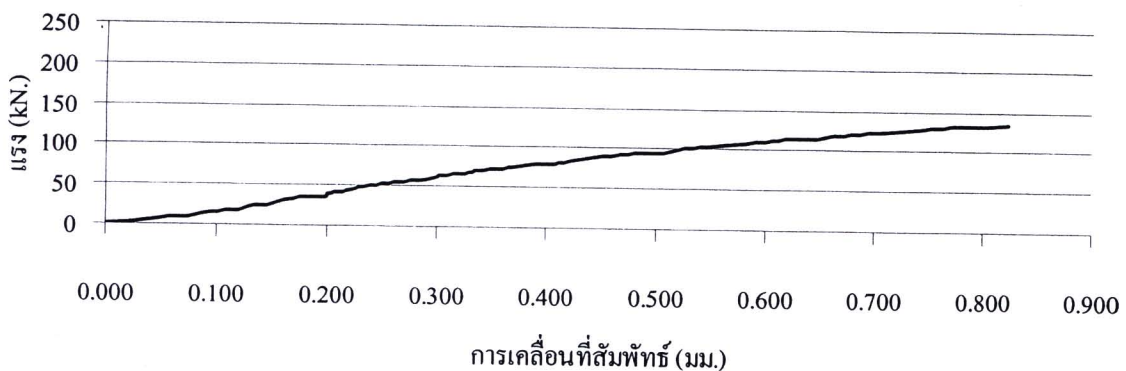
5.2.1 พฤติกรรมของผนังทึบเปล่าภายใต้แรงเฉือน

การทดสอบผนังทึบเปล่ามีตัวอย่างทดสอบ 3 ตัวอย่าง คือ UCF1, UCF2 และ UCF3 โดยตัวอย่างทดสอบ UCF1 และ UCF2 ติดเกจวัดการเปลี่ยนแปลงรูปร่างเพียงแบบเดียว คือ แบบขาว สำหรับตัวอย่างทดสอบ UCF3 ติดเกจวัดการเปลี่ยนแปลงรูปร่าง 2 แบบเดียว คือ แบบขาว และแบบสีน้ำเงิน จากการทดสอบพบว่าเมื่อมีการให้แรงกับตัวอย่างทดสอบจนวิบัติ ผนังทึบทั้ง 3 ตัวอย่าง จะเกิดการวินาศัยแบบหักทันทีหักได้ เนื่องจากผนังทึบที่หักด้วยอิฐมวลอยู่ซึ่งเป็นวัสดุกึ่งเปราะ (quasi - brittle materials) วัสดุชนิดนี้เมื่อให้แรงกระทำจนวิบัติจะเกิดการปิดป๊อพลังงานหักที่โดย ณ จุดวิบัติของผนังทึบทั้ง 3 ตัวอย่าง จะไม่ปรากฏรอยแตกร้าวซึ่งบนผนังทึบให้เห็นก่อนแต่รอยแตกร้าวจะเกิดขึ้นแบบหักทันทีทำให้ไม่สามารถสังเกตเห็นลักษณะของการแตกร้าวว่าเกิดขึ้นณ ตำแหน่งใดก่อน การแตกร้าวที่เกิดขึ้นเกิดในทิศทางเดียวกับแรงเฉือนที่กระทำกับตัวอย่างทดสอบและไม่ปรากฏการบดแตกที่มุมบนและมุมล่างของผนังทึบเปล่าที่ loading shoes ครอบคลังแสดงในภาพที่ 5.2

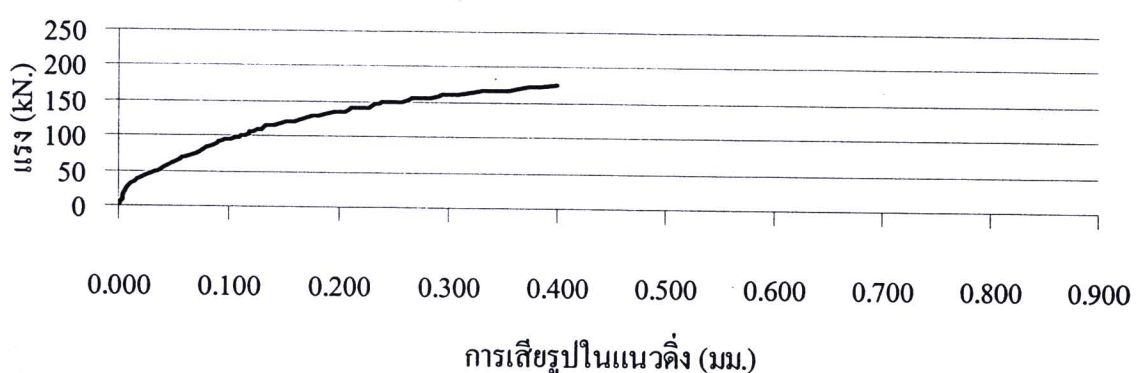


ภาพที่ 5.2 สภาพรอยแตกร้าวของผนังทึบเปล่าจากการทดสอบ

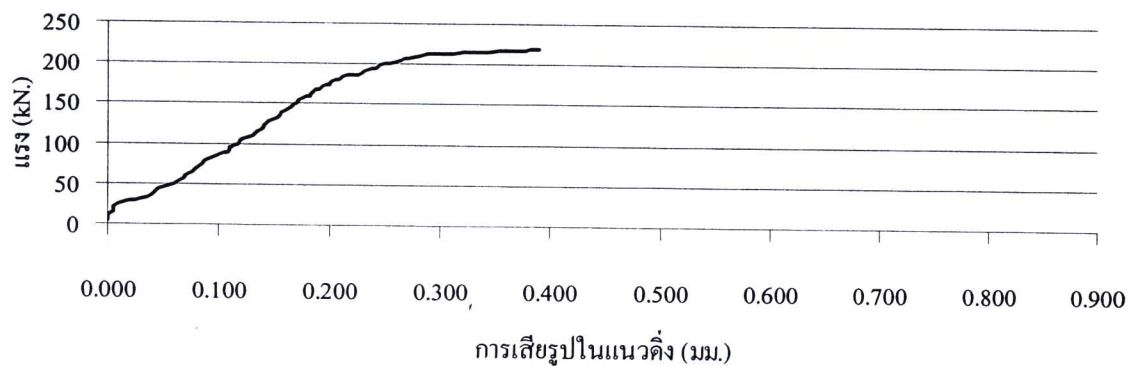
จากการทดสอบผนังทึบเปล่า สามารถนำมาหาความสัมพันธ์ระหว่างแรงกับการเสียรูปดังแสดงในภาพที่ 5.3 ถึงภาพที่ 5.5 โดยที่ค่าความเค้นเฉือน, ค่าความเครียดเฉือนตามมาตรฐาน ASTM E519 – 02 และแรงประดับของผนังทึบทั้ง 3 ตัวอย่าง แสดงได้ดังตารางที่ 5.2



ภาพที่ 5.3 ความสัมพันธ์ระหว่างแรงกับการเปลี่ยนแปลงรูปร่างของตัวอย่างทดสอบ UCF1
(แบบเกจวัดยาว)



ภาพที่ 5.4 ความสัมพันธ์ระหว่างแรงกับการเปลี่ยนแปลงรูปร่างของตัวอย่างทดสอบ UCF2
(แบบเกจวัดยาว)



ภาพที่ 5.5 ความสัมพันธ์ระหว่างแรงกับการเปลี่ยนแปลงรูปร่างของตัวอย่างทดสอบ UCF3
(แบบเกจวัดยาว)

ตารางที่ 5.2 หน่วยแรงเฉือนประลัย ความเครียดเฉือนประลัย และแรงประลัยของตัวอย่างทดสอบกลุ่มที่ 1

ตัวอย่างทดสอบ	แรงประลัย (kN)	หน่วยแรงเฉือนประลัย (ksc.)	ความเครียดเฉือนประลัย
UCF1	134	7.36	0.0011565 ^a
UCF2	174	9.56	0.0009141 ^a
UCF3	219	12.04	0.00083567 ^a , 0.00080607 ^b

^a คำนวณจากเกจวัดยาว

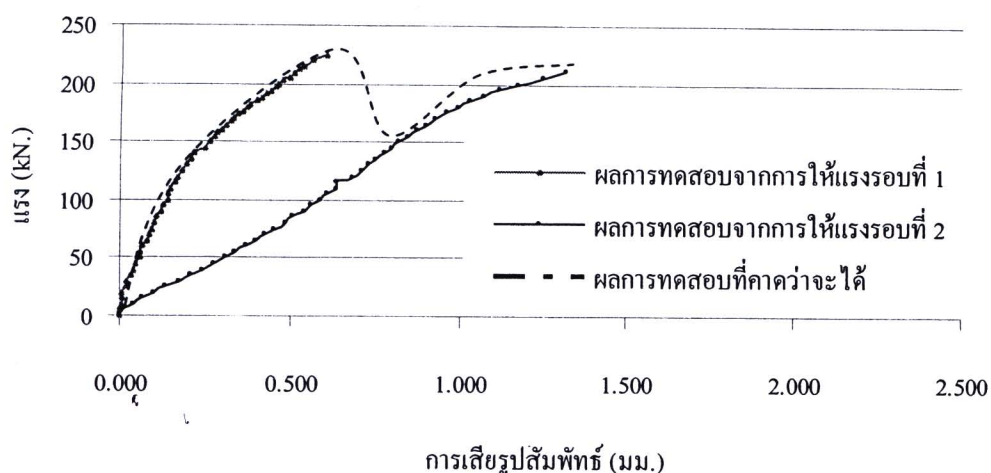
^b คำนวณจากเกจวัดสั้น

จากภาพที่ 5.3 ถึง 5.5 และตารางที่ 5.2 ค่าแรงเฉือนประลัยของตัวอย่างทดสอบ UCF1 มีค่าค่อนข้างแตกต่างจากตัวอย่างทดสอบ UCF2, UCF3 ยังเนื่องจากตัวอย่างทดสอบ UCF1 ไม่มีการควบคุมปริมาณอิฐที่ก่อเป็นผนังและไม่มีการควบคุมความหนาของชั้นปูนก่อแต่ตัวอย่างทดสอบ UCF2 กับ UCF3 มีการควบคุมค่าดังกล่าวจึงทำให้พฤติกรรมของผนังทึบต่างกัน และพบว่าค่าความเครียดเฉือนประลัยที่แตกต่างกันของตัวอย่างทดสอบห้องสามตัวอย่างมีค่าแตกต่างกันซึ่งแสดงให้เห็นว่าความเครียดเฉือนที่ได้ขึ้นอยู่กับความยาวของเกจวัดการเปลี่ยนแปลงรูปร่าง (gage length) ทำให้ค่าที่วัดได้อาจจะไม่เหมาะสมในการนำไปใช้เป็นตัวแทนของผนังทึบที่มีค่าของเกจวัดการเปลี่ยนแปลงรูปร่างหรือผนังทึบที่มีขนาดต่างจากนี้

5.2.2 ผนังทึบที่โอบรัดด้วยโครงข้อแข็งคอนกรีตเสริมเหล็กภายใต้แรงเฉือน

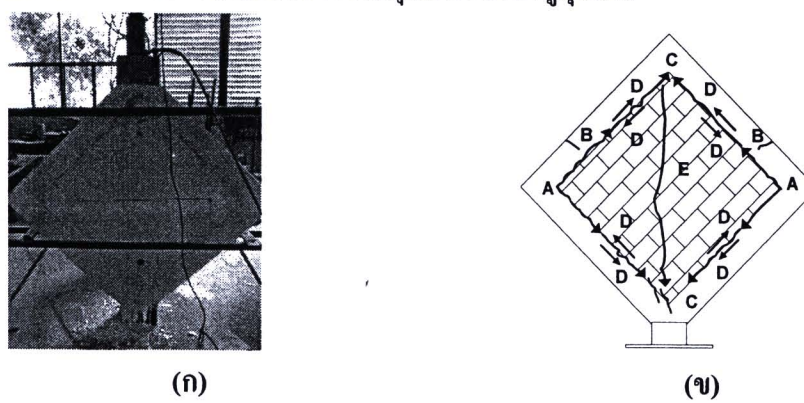
ตัวอย่างทดสอบผนังทึบที่โอบรัดด้วยโครงข้อแข็งคอนกรีตเสริมเหล็กประกอบด้วยตัวอย่างทดสอบ 3 ตัวอย่าง คือ CF1, CF2 และ CF3 การทดสอบตัวอย่างทดสอบในกลุ่มนี้ได้ควบคุมการให้แรงกระทำไปบนผนังทึบที่โอบรัดด้วยโครงข้อแข็งคอนกรีตเสริมเหล็ก วิบัติโดยการแตกร้าว ณ จุดวินตันเพ็บว่าจะไม่สามารถเพิ่มแรงกระทำให้กับตัวอย่างทดสอบได้อีกเนื่องจากผนังทึบจะเกิดการปลดปลั้งงานทันที ณ จุดวินต์ตี้ และรอยแตกที่เกิด ณ จุดวินต์ตี้มีการขยายตัวอย่างฉับพลัน การทดสอบตัวอย่างโดยวิธีควบคุมแรงกระทำจะไม่สามารถควบคุมการลดค่าแรงกระทำที่ให้กับตัวอย่างทดสอบได้ ภายหลังที่ตัวอย่างสูญเสียพลังงานไปแล้วทางผู้วิจัยจำเป็นต้องคลายแรงกระทำออกทั้งหมดแล้วทำการให้แรงกระทำซ้ำอีกครั้ง ซึ่งจะสามารถหาผลการตอบสนองของโครงสร้างที่ผนังแตกร้าวได้ ดังแสดงในภาพที่ 5.5 ทั้งนี้เนื่องจากข้อจำกัดของเครื่องมือทดสอบในห้องปฏิบัติการจึงไม่สามารถใช้วิธีการทดสอบแบบควบคุมการเสียรูป

(displacement control) ซึ่งสามารถถูกควบคุมการทดสอบได้ต่อเนื่องต่างจากวิธีการควบคุมแรงกระทำ และน่าจะให้ผลการทดสอบดังเช่นกรณีของตัวอย่างทดสอบ CF2 ดังแสดงในภาพที่ 5.6



ภาพที่ 5.6 ความสัมพันธ์ระหว่างหน่วยแรงเมื่อเทียบกับความเครียดเมื่อ脱离จากการให้แรงกระทำ 2 รอบ และผลคาดว่าจะหาได้จากวิธีควบคุมการเดียรูปของตัวอย่างทดสอบ CF2 (เกจวัดยาว)

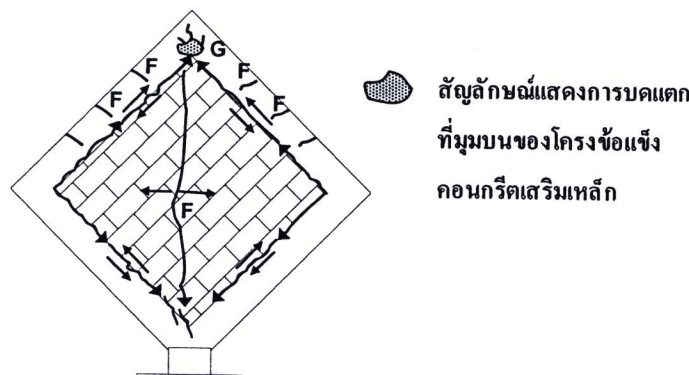
ภายใต้แรงกระทำรอบที่หนึ่งพบว่าเมื่อให้แรงกับตัวอย่างทดสอบอย่างร้าวประกาย ครั้งแรก ณ บริเวณเส้นรอบรูปของผนังทึบ (ส่วน A) เมื่อให้แรงกับตัวอย่างทดสอบต่อไปอีกครั้ง ก็ครุอย่างร้าวในโครงข้อแข็ง (ส่วน B) หลังจากนั้นอย่างร้าวจะขยายตัวไปตามแนวเส้นรอบรูปของผนังทึบ (ส่วน C) โดยอย่างร้าวนี้จะทำให้ผนังทึบกับโครงข้อแข็งเกิดการเลื่อนตัวออกจากกัน (ส่วน D) หลังจากนั้นผนังทึบจะเกิดการวินต์ (ส่วน E) ดังแสดงในภาพที่ 5.7(ก) และ 5.7(ข) ซึ่งก่อนการวินต์ผนังทึบจะเกิดอย่างร้าวจากมุนบนของลงสู่มุนล่าง



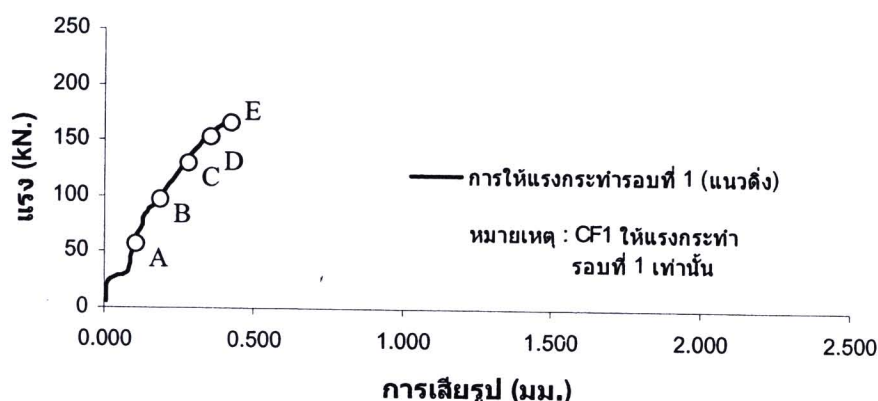
ภาพที่ 5.7 สภาพรอยแตกจำลองที่แต่ละส่วนของโครงข้อแข็งคอนกรีตเสริมเหล็กกับผนังทึบในการให้แรงกระทำรอบที่หนึ่ง

หลังจากผนังทึบวีบติจะทำการคลายแรงกระทำออกจนหมด จึงทำการให้แรงกระทำในรอบที่สองใหม่ในโครงข้อแข็งคอนกรีตเสริมเหล็กที่โอบรัคผนังทึบวีบติ พนว่ารอยแตกใหม่และรอยแตกเก่าในโครงข้อแข็งคอนกรีตเสริมเหล็กขยายตัวมากขึ้น (สภาวะ F) หลังจากนั้นเมื่อให้แรงกระทำต่อไปจนโครงข้อแข็งวีบติจะเกิดการบดแตก (crushing) ที่มุนบนของโครงข้อแข็งคอนกรีตเสริมเหล็กที่ loading shoes ครอบไว้ (สภาวะ G) ดังแสดงในภาพที่ 5.8

สำหรับการวัดค่าการเสียรูปของตัวอย่าง CF2 และ CF3 จะทำการติดตั้งได้อัลเกจสองแบบ คือ แบบเกจวัดยาวและแบบเกจวัดสั้น ผลการทดสอบของตัวอย่างกลุ่มที่สองสามารถนำมาหาความสัมพันธ์ระหว่างแรงกับการเสียรูปที่สภาวะต่างๆ ดังแสดงในภาพที่ 5.9 ถึงภาพที่ 5.11 โดยที่ค่าหน่วยแรงเฉือนประลัย ค่าความเครียดเฉือนประลัยตามมาตรฐาน ASTM E519 – 02 และแรงประลัยของผนังทึบห้อง 3 ตัวอย่าง สามารถแสดงดังในตารางที่ 5.3

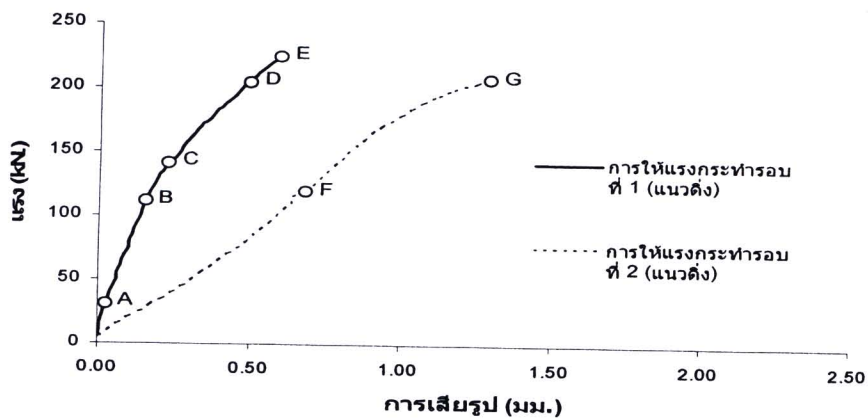


ภาพที่ 5.8 สภาพรอยแตกจำลองที่แต่ละสภาวะของโครงข้อแข็งคอนกรีตเสริมเหล็กกับผนังทึบในการให้แรงกระทำรอบที่สอง

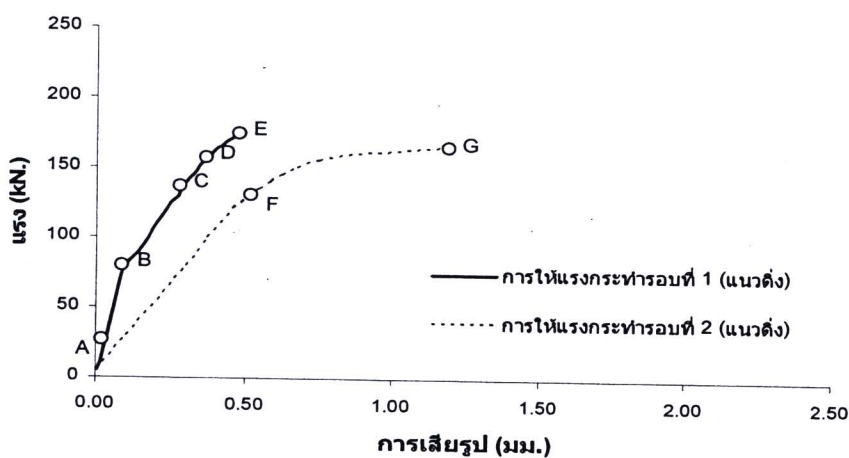


ภาพที่ 5.9 ความสัมพันธ์ระหว่างแรงกับการเสียรูปของตัวอย่างทดสอบ CF1 (แบบเกจวัดยาว)

ณ สภาวะต่างๆ



ภาพที่ 5.10 ความสัมพันธ์ระหว่างแรงกับการเสียรูปของตัวอย่างทดสอบ CF2 (แบบเกจวัดยาว)
ณ สถานะต่างๆ



ภาพที่ 5.11 ความสัมพันธ์ระหว่างแรงกับการเสียรูปของตัวอย่างทดสอบ CF3 (แบบเกจวัดยาว)
ณ สถานะต่างๆ

ตารางที่ 5.3 หน่วยแรงเฉือนประดับ ความเครียดเฉือนประดับ และแรงประดับของกลุ่มตัวอย่างที่ 2

ตัวอย่างทดสอบ	แรงประดับ (kN)	หน่วยแรงเฉือนประดับ (ksc.)	ความเครียดเฉือนประดับ
CF1	161	9.01	0.0006721 ^a
CF2	225	12.37	0.0008469 ^a 0.0008569 ^b
CF3	174	9.56	0.0008592 ^a 0.0010939 ^b

^a คำนวณจากเกจวัดยาว

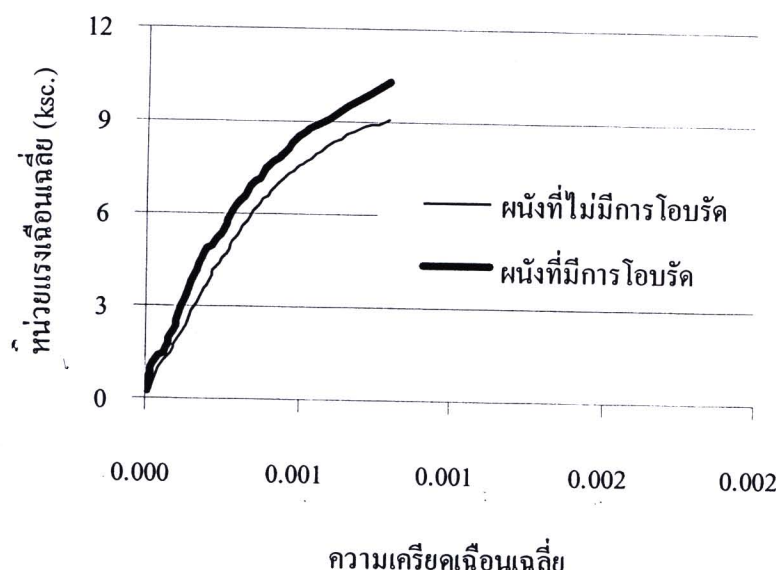
^b คำนวณจากเกจวัดสั้น

จากตารางที่ 5.3 พนบว่าค่าแรงเฉือนประดับของตัวอย่างทดสอบ CF1 และ CF3 มีค่าก่อนข้างแตกต่างจากตัวอย่างทดสอบ UCF2 อันเนื่องจากตัวอย่างทดสอบ CF1 และ CF3 ไม่มีการควบคุมปริมาณอิฐที่ก่อเป็นผนังและไม่มีการควบคุมความหนาของชั้นปูนก่อแต่ตัวอย่างทดสอบ CF2 มีการควบคุมค่าดังกล่าวจึงทำให้พฤติกรรมของผนังทึบค่างกัน สำหรับค่าความเครียดเฉือนประดับที่แตกต่างกันของตัวอย่างทดสอบห้องสามตัวอย่างมีค่าแตกต่างกันซึ่งแสดงให้เห็นว่าความเครียดเฉือนที่ได้ขึ้นอยู่กับความยาวของเกจวัดการเปลี่ยนแปลงรูปร่าง (gage length) ทำให้ค่าที่วัดได้อาจจะไม่เหมาะสมในการนำไปใช้เป็นตัวแทนของผนังทึบที่มีค่าของเกจวัดการเปลี่ยนแปลงรูปร่างหรือผนังทึบที่มีขนาดค่างจากนี้

5.2.3 การเปรียบเทียบผลของผนังทึบเปล่ากับผนังทึบที่มีการโอบรัดด้วยโครงข้อแข็งคอนกรีตเสริมเหล็ก

ภาพที่ 5.12 แสดงความสัมพันธ์ระหว่างหน่วยแรงเฉือนเฉลี่ยกับความเครียดเฉือนเฉลี่ยของผนังทึบเปล่าและผนังทึบที่มีการโอบรัดของโครงข้อแข็งคอนกรีตเสริมเหล็ก โดยพบว่าค่าความเครียดเฉือนเฉลี่ยของตัวอย่างทดสอบผนังทึบเปล่ามีค่ามากกว่าตัวอย่างทดสอบกลุ่มผนังทึบที่มีการโอบรัดของโครงข้อแข็งคอนกรีตเสริมเหล็กไม่นัก เนื่องจากการวัดค่าความเครียดเฉือนเป็นการวัดค่าในผนังทึบที่ซึ่งผนังทึบเป็นชนิดเดียวกัน ดังนั้นค่าความเครียดเฉือนจึงควรมีค่าแตกต่างกันไม่น่าจะมาก แต่สำหรับค่าหน่วยแรงเฉือนเฉลี่ยของผนังทึบที่โอบรัดด้วยโครงข้อแข็งคอนกรีตเสริมเหล็กจะมีค่ามากกว่าค่าหน่วยแรงเฉือนเฉลี่ยของผนังทึบเปล่า เนื่องจากค่าหน่วยแรงเฉือนในตัวอย่างทดสอบกลุ่นที่สองเป็นค่าหน่วยแรงเฉือนของระบบผนังทึบที่โอบรัดด้วยโครงข้อแข็ง

คอนกรีตเสริมเหล็กทำให้สามารถรับหน่วยแรงเฉือนได้มากกว่าผนังทึบเปล่าที่เป็นตัวอย่างทดสอบผนังทึบเปล่า



ภาพที่ 5.12 ความสัมพันธ์ระหว่างหน่วยแรงเฉือนเฉลี่ยกับความเครียดเฉือนเฉลี่ยของผนังทึบที่ไม่มีการโอบรัดกับผนังทึบที่มีการโอบรัดด้วยโครงข้อแข็งคอนกรีตเสริมเหล็ก

สำหรับความสัมพันธ์ระหว่างหน่วยแรงเฉือน (shear stress) กับความเครียดเฉือน (shear strain) ซึ่งคำนวณตามมาตรฐาน ASTM E 519 - 02 ดังแสดงในตารางที่ 5.2 และ 5.3 แสดงให้เห็นถึงความแตกต่างของค่าความเครียดเฉือนที่คำนวณจากเกจวัดยาวและจากเกจวัดสั้น โดยพบว่าค่าความเครียดที่ได้ขึ้นอยู่กับขนาดความยาวของเกจวัดการเปลี่ยนแปลงรูปร่างที่ใช้ในการทดสอบและไม่สามารถประยุกต์ใช้กับความยาวของเกจวัดการเปลี่ยนแปลงรูปร่างที่แตกต่างจากนี้ได้ ซึ่งเป็นปัญหาหลักในการวิเคราะห์โครงสร้างที่ทำด้วยวัสดุกึ่งประจำ จำเป็นต้องใช้หลักการพลังงานของการแตกร้าว (fracture energy) ช่วยในการวิเคราะห์ ซึ่งจะอธิบายในหัวข้อต่อไป

5.3 ผลการวิเคราะห์พุติกรรมของผนังทึบเปล่าและผนังทึบที่โอบรัดด้วยโครงข้อแข็งคอนกรีตเสริมเหล็กภายใต้แรงเฉือน ด้วยโปรแกรมวิเคราะห์โครงสร้าง SAP2000

5.3.1 ผลการวิเคราะห์พุติกรรมของผนังทึบเปล่า

ผลการวิเคราะห์พุติกรรมของผนังทึบเปล่าภายใต้แรงเฉือนด้วยโปรแกรมวิเคราะห์โครงสร้าง SAP2000 จากการวิเคราะห์พบว่ากลไกการแตกร้าวของผนังขึ้นอยู่กับ

ความสัมพันธ์ระหว่างแรงดึงกับการเปลี่ยนแปลงรูปร่างของชิ้นส่วนการแตกร้าวที่จำลองในผนังทึบโดยชิ้นส่วนที่จำลองพฤติกรรมการแตกร้าวจะเกิดสภาพะต่างๆดังนี้

สภาพะยืดหยุ่น (Elastic : E) คือ สภาวะที่ชิ้นส่วนมีค่าการเปลี่ยนแปลงรูปร่างน้อยกว่าค่าการเปลี่ยนแปลงรูปร่าง ณ จุดครากเนื่องจากแรงดึง ซึ่งสภาวะนี้ถือว่ายังไม่เกิดการแตกร้าว

สภาพะเริ่มแตกร้าว (Peak Crack : PC) คือ สภาวะที่ชิ้นส่วนมีค่าการเปลี่ยนแปลงรูปร่างเท่ากับค่าการเปลี่ยนแปลงรูปร่าง ณ จุดครากเนื่องจากแรงดึง ซึ่งสภาวะนี้ถือว่าเริ่มเกิดการแตกร้าว

สภาพะหลังแตกร้าว (Post Peak Crack: PPC) คือ สภาวะที่ชิ้นส่วนมีค่าการเปลี่ยนแปลงรูปร่างมากกว่าค่าการเปลี่ยนแปลงรูปร่าง ณ จุดครากเนื่องจากแรงดึงแต่น้อยกว่าค่าการเปลี่ยนแปลงรูปร่างประดิษฐ์ ซึ่งสภาวะนี้ถือว่าเกิดการแตกร้าวแต่ยังสามารถรับแรงดึงได้

การแตกร้าวแบบสมบูรณ์ (Fully Cracked : FC) คือ สภาวะที่ชิ้นส่วนมีค่าการเปลี่ยนแปลงรูปร่างมากกว่าค่าการเปลี่ยนแปลงรูปร่างประดิษฐ์ ซึ่งสภาวะนี้ถือว่าเกิดการแตกร้าวสมบูรณ์แบบ คือ ไม่สามารถรับแรงดึงได้

5.3.2 กลไกการเกิดการแตกร้าวของแบบจำลองผนังทึบเปล่า

จากผลการวิเคราะห์โดยโปรแกรม SAP2000 พบว่าการแตกร้าวของผนังทึบเปล่าเริ่มปรากฏที่บริเวณกลางผนังทึบ หลังจากนั้นการแตกร้าวจะขยายจากบริเวณกลางผนังไปยังมุมบนและมุมล่าง โดยการแตกร้าวนี้ขึ้นกับกลไกการวิบัติของแบบจำลองการแตกร้าวที่สภาวะต่างๆดังต่อไปนี้

ที่สภาวะ A (ภาพที่ 5.13) ชิ้นส่วนจำลองการแตกร้าวชิ้นที่ 6 (อยู่ตำแหน่งตรงกลาง) เกิดการแตกร้าวแบบ PC ชิ้น แต่ยังสามารถรับแรงกระทำได้อีก ซึ่งชิ้นส่วนจำลองการแตกร้าวชิ้นที่เหลือยังอยู่ในสภาวะยืดหยุ่นเป็นผลให้แบบจำลองผนังทึบเปล่ายังสามารถรับแรงกระทำไปได้อีก จนถึงสภาวะ B

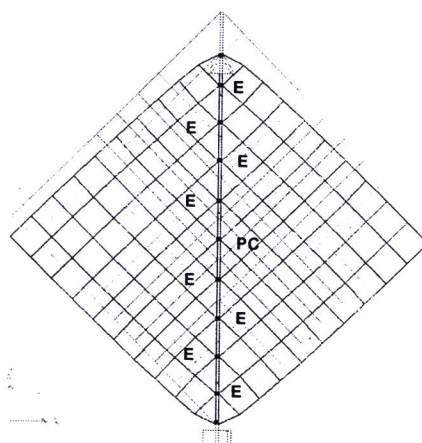
ที่สภาวะ B (ภาพที่ 5.14) มีการแตกร้าวเพิ่มขึ้นจากสภาวะ A โดยพบว่าชิ้นส่วนจำลองการแตกร้าวชิ้นที่ 5 และ 7 (ดัดจากตำแหน่งตรงกลางชิ้นไปแลลงมา) เกิดการแตกร้าวแบบ PC สำหรับชิ้นส่วนจำลองการแตกร้าวชิ้นที่ 6 มีการขยายของการแตกร้าวเป็นแบบ PPC ชิ้นส่วนที่เหลือยังอยู่ในสภาวะยืดหยุ่นเป็นผลให้แบบจำลองผนังทึบเปล่ายังสามารถรับแรงกระทำไปได้อีก

ที่สภาวะ C (ภาพที่ 5.15) มีการแตกร้าวเพิ่มขึ้นจากสภาวะ B โดยพบว่าชิ้นส่วนจำลองการแตกร้าวชิ้นที่ 3 และ 8 เกิดการแตกร้าวแบบ PC สำหรับชิ้นส่วนจำลองการแตกร้าวชิ้นที่ 5, 6 และ 7 มีการขยายของการแตกร้าวเป็นแบบ PPC ชิ้นส่วนที่เหลือยังอยู่ในสภาวะยืดหยุ่น แต่เมื่อจากชิ้นส่วนจำลองการแตกร้าว ณ สภาวะ C ส่วนใหญ่เกิดการแตกร้าวชิ้นแล้วทำให้

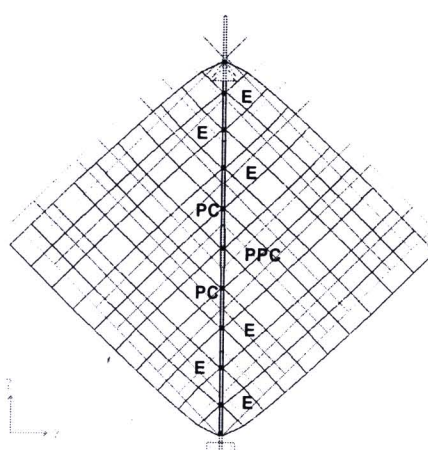
แบบจำลองผนังทึบ ณ สภาฯ C เป็นสภาวะที่รับแรงกระทำได้สูงสุด หลังจากสภาวะ C แบบจำลองผนังทึบเกิดการปลดปล่อยพลังงานทำให้ค่าแรงกระทำลดลงจนไปถึงสภาวะ D

ที่สภาวะ D (ภาพที่ 5.16) ผนังทึบปลดปล่อยพลังงานจนหมดและชิ้นส่วนจำลองการแตกร้าวทุกชิ้นส่วนเกิดการแตกร้าวแบบสมบูรณ์แบบจึงถือว่าแบบจำลองผนังทึบเปล่าวินิจฉัย

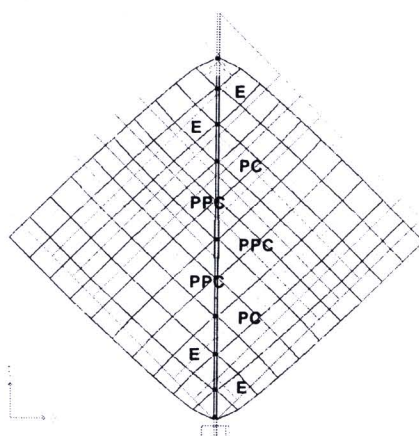
กลไกการรับแรงของชิ้นส่วนจำลองการแตกร้าวสามารถแสดงได้ในภาพที่ 5.17 ถึง 5.25 และความสัมพันธ์ระหว่างแรงกับการเสียรูปสัมพัทธ์(วัดจากชิ้นส่วนจำลองการแตกร้าวชิ้นที่ 2 กับ ชิ้นที่ 3) ในแนวคิดของแบบจำลองผนังทึบเปล่า สามารถแสดงได้ดังภาพที่ 5.26



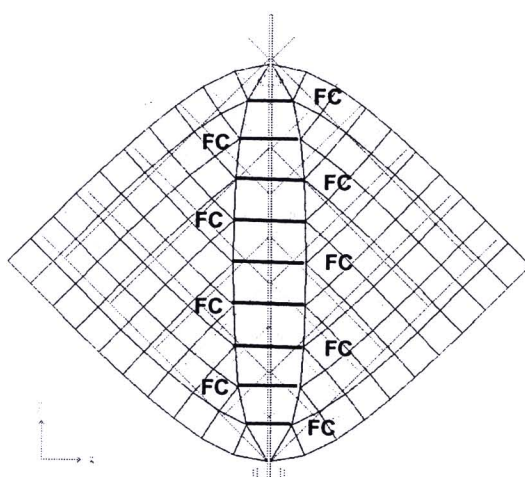
ภาพที่ 5.13 ผลการจำลองการแตกร้าวสภาวะ A (แบบจำลองผนังทึบเปล่า) ขยาย 100 เท่า



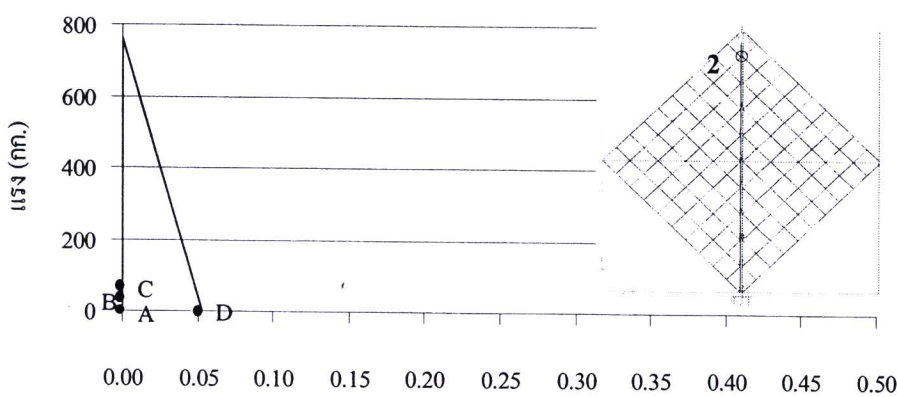
ภาพที่ 5.14 ผลการจำลองการแตกร้าวสภาวะ B (แบบจำลองผนังทึบเปล่า) ขยาย 100 เท่า



ภาพที่ 5.15 ผลการจำลองการแตกร้าวสภาวะ C (แบบจำลองผนังทึบเปล่า) ขยาย 100 เท่า

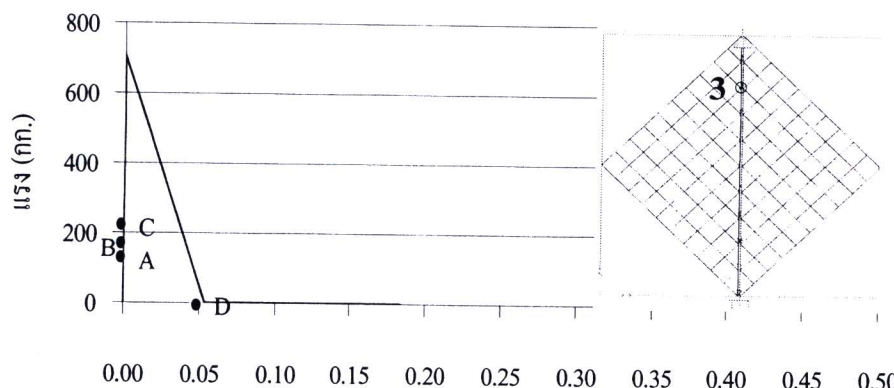


ภาพที่ 5.16 ผลการจำลองการแตกร้าวสภาวะ D (แบบจำลองผนังทึบเปล่า) ขยาย 100 เท่า



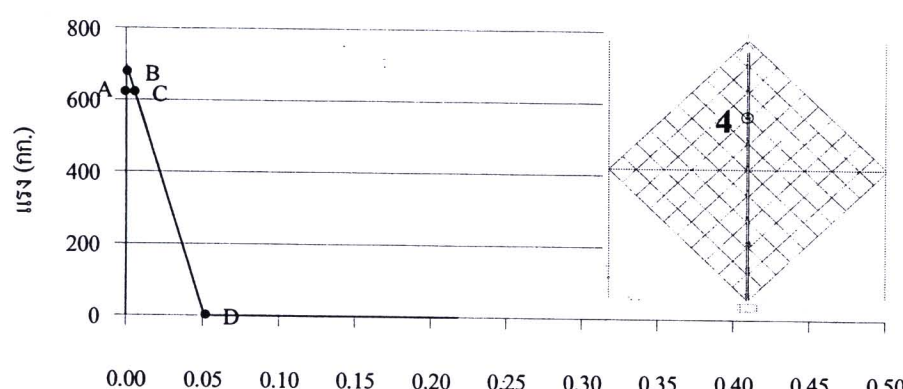
การขีดตัวในชั้นส่วนจำลองการแตกร้าว (zm.)

ภาพที่ 5.17 สภาพการเกิดการแตกร้าวของแบบจำลองการแตกร้าวชั้นส่วนที่ 2



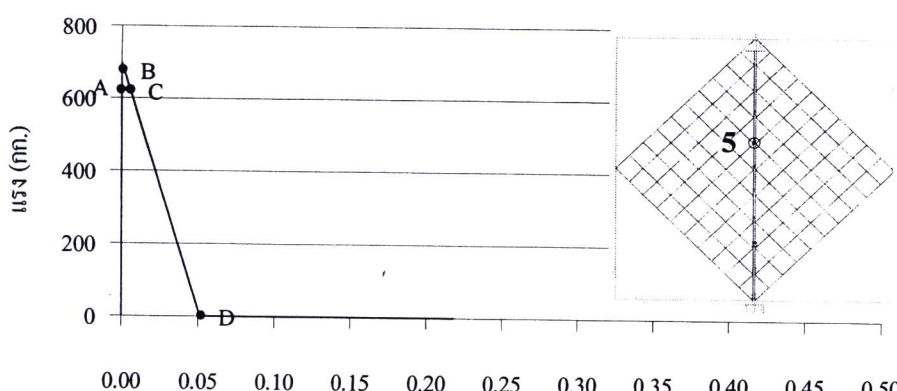
การบีดตัวของชิ้นส่วนจำลองการแตกร้าว (ชม.)

ภาพที่ 5.18 สภาพการเกิดการแตกร้าวของแบบจำลองการแตกร้าวชิ้นส่วนที่ 3



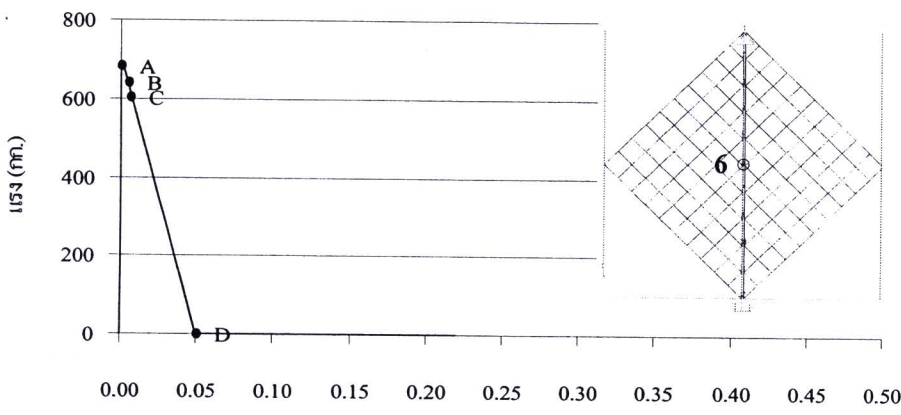
การบีดตัวของชิ้นส่วนจำลองการแตกร้าว (ชม.)

ภาพที่ 5.19 สภาพการเกิดการแตกร้าวของแบบจำลองการแตกร้าวชิ้นส่วนที่ 4



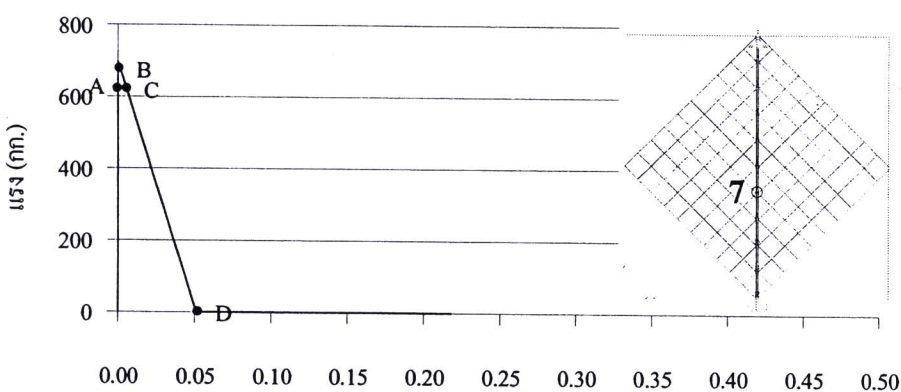
การบีดตัวของชิ้นส่วนจำลองการแตกร้าว (ชม.)

ภาพที่ 5.20 สภาพการเกิดการแตกร้าวของแบบจำลองการแตกร้าวชิ้นส่วนที่ 5



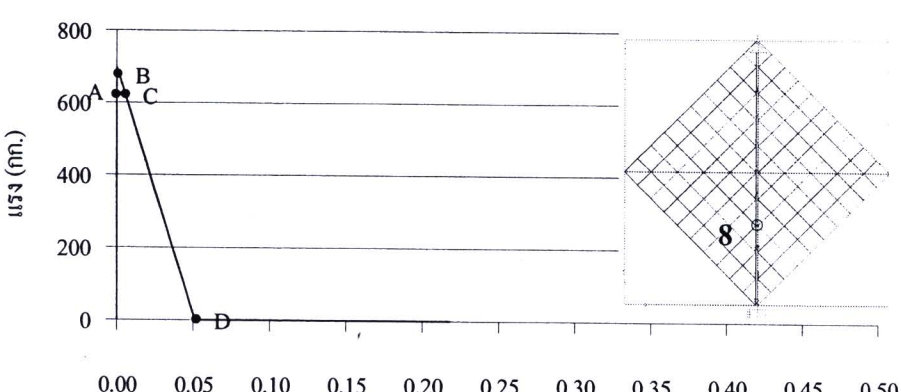
การยึดตัวของชิ้นส่วนจำลองการแตกร้าว (ซม.)

ภาพที่ 5.21 ສภาวะการเกิดการแตกร้าวของแบบจำลองการแตกร้าวชิ้นส่วนที่ 6



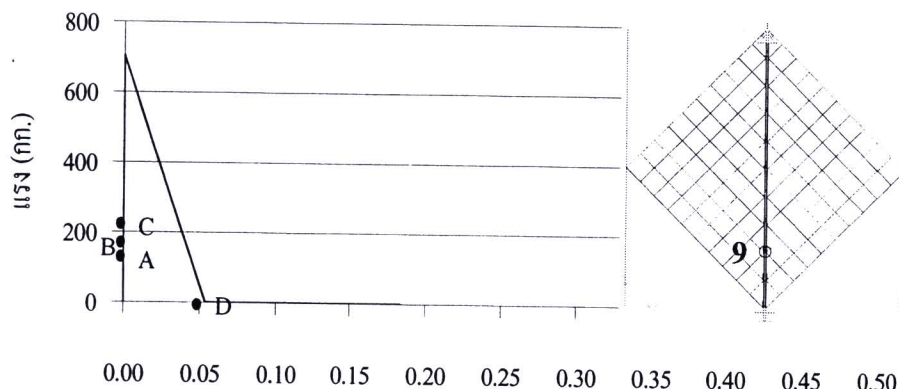
การยึดตัวของชิ้นส่วนจำลองการแตกร้าว (ซม.)

ภาพที่ 5.22 ສภาวะการเกิดการแตกร้าวของแบบจำลองการแตกร้าวชิ้นส่วนที่ 7



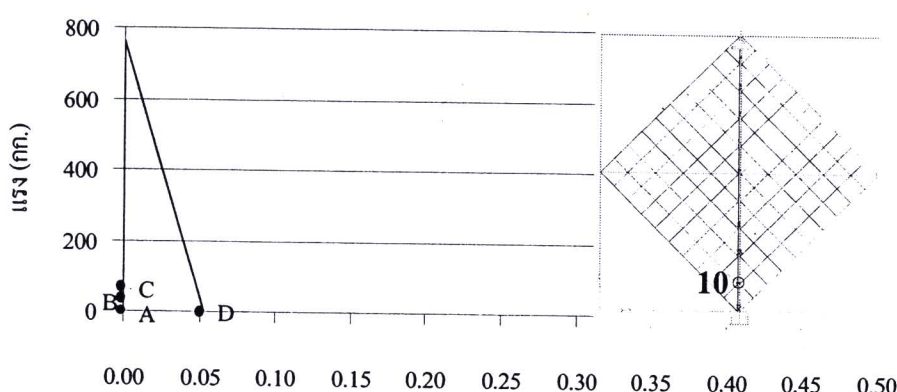
การยึดตัวของชิ้นส่วนจำลองการแตกร้าว (ซม.)

ภาพที่ 5.23 ສภาวะการเกิดการแตกร้าวของแบบจำลองการแตกร้าวชิ้นส่วนที่ 8



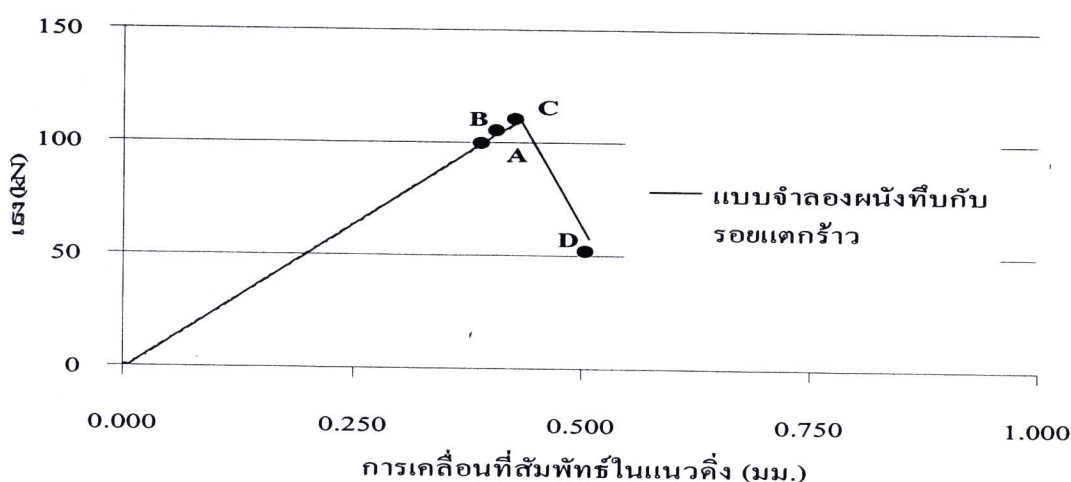
การยึดตัวของชิ้นส่วนจำลองการแตกร้าว (ช.m.)

ภาพที่ 5.24 ສภาวะการเกิดการแตกร้าวของแบบจำลองการแตกร้าวชิ้นส่วนที่ 9



การยึดตัวในชิ้นส่วนจำลองการแตกร้าว (ช.m.)

ภาพที่ 5.25 ສภาวะการเกิดการแตกร้าวของแบบจำลองการแตกร้าวชิ้นส่วนที่ 10



ภาพที่ 5.26 ความสัมพันธ์ระหว่างแรงกับการเคลื่อนที่ของแบบจำลองผนังทึบเปล่าภายใต้แรงเฉือน

จากภาพที่ 5.26 พบว่าพฤติกรรมหลังจากแตกร้าวของผนังทึบเปล่าน้ำสามารถหาได้จากการจำลองพฤติกรรมด้วยโปรแกรมวิเคราะห์โครงสร้าง SAP2000 โดยหลังจากจุด C เมื่อชั้นส่วนจำลองพฤติกรรมการแตกร้าวเกิดการแตกร้าว ชั้นที่ 4,5,6,7,8 เกิดการแตกร้าวผนังทึบจะถอยปลดปล่อยพลังงานทำให้สามารถหาค่าการเปลี่ยนแปลงรูปร่างหลังเกิดการแตกร้าวได้

5.3.2 ผนังทึบที่โอบรัดด้วยโครงข้อแข็งคอนกรีตเสริมเหล็ก

จากผลการวิเคราะห์พฤติกรรมของผนังทึบที่โอบรัดด้วยโครงข้อแข็งคอนกรีตเสริมเหล็กภายใต้แรงเฉือนด้วยโปรแกรมวิเคราะห์โครงสร้าง SAP2000 พบว่าการเกิดการแตกร้าวขึ้นกับพฤติกรรมของชั้นส่วนจำลองพฤติกรรมการแตกร้าวดังที่กล่าวมาแล้วและลักษณะการเกิดการแตกร้าวต่างจากแบบจำลองผนังทึบเปล่า โดยรอยแตกร้าวจะเริ่มปรากฏ ณ บริเวณมุมบนหลังจากนั้นจึงขยายลงมาจนถึงมุมล่างของผนังทึบที่โอบรัดด้วยโครงข้อแข็งคอนกรีตเสริมเหล็ก การแตกร้าวนี้ขึ้นกับกลไกการวิบัติของแบบจำลองการแตกร้าวที่สภาวะต่างๆ ดังต่อไปนี้

ที่สภาวะ E (ภาพที่ 5.27) ชั้นส่วนจำลองการแตกร้าวชั้นที่ 2 ถึง 8 เกิดการแตกร้าวแบบ PC ขึ้น แต่ยังสามารถรับแรงกระทำได้อีก โดยชั้นส่วนที่เหลือยังอยู่ในสภาวะแบบยืดหยุ่นเป็นผลให้แบบจำลองผนังทึบที่โอบรัดด้วยโครงข้อแข็งคอนกรีตเสริมเหล็กยังสามารถรับแรงกระทำได้อีก จนถึงสภาวะ F

ที่สภาวะ F (ภาพที่ 5.28) มีการแตกร้าวเพิ่มขึ้นจากสภาวะ E โดยพบว่าชั้นส่วนจำลองการแตกร้าวชั้นที่ 9 เกิดการแตกร้าวแบบ PC ขึ้น สำหรับชั้นส่วนจำลองการแตกร้าวชั้นที่ 2 ถึง 8 มีการขยายของแตกร้าวเป็นแบบ PPC แต่ยังสามารถรับแรงกระทำได้อีก โดยชั้นส่วนที่เหลือยังอยู่ในสภาวะแบบยืดหยุ่นเป็นผลให้แบบจำลองผนังทึบที่โอบรัดด้วยโครงข้อแข็งคอนกรีตเสริมเหล็กยังสามารถรับแรงกระทำได้อีก จนถึงสภาวะ G

ที่สภาวะ G (ภาพที่ 5.29) มีการแตกร้าวเพิ่มขึ้นจากสภาวะ F โดยพบว่าชั้นส่วนจำลองการแตกร้าวชั้นที่ 10 เกิดการแตกร้าวแบบ PC ขึ้น สำหรับชั้นส่วนจำลองการแตกร้าวชั้นที่ 2 ถึง 9 มีการขยายของแตกร้าวเป็นแบบ PPC แต่ยังสามารถรับแรงกระทำได้อีก เป็นผลให้แบบจำลองผนังทึบที่โอบรัดด้วยโครงข้อแข็งคอนกรีตเสริมเหล็กยังสามารถรับแรงกระทำได้อีก จนถึงสภาวะ H

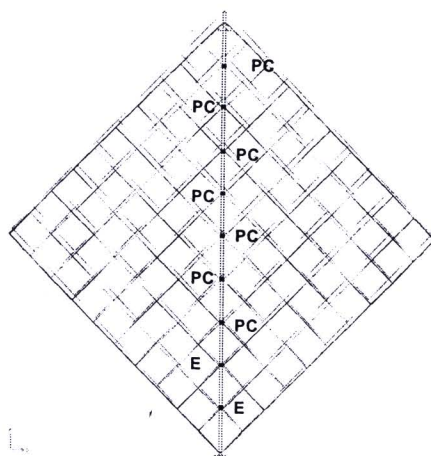
ที่สภาวะ H (ภาพที่ 5.30) มีการแตกร้าวเพิ่มขึ้นจากสภาวะ G โดยพบว่าชั้นส่วนจำลองการแตกร้าวชั้นที่ 10 เกิดการแตกร้าวแบบ PPC ขึ้น สำหรับชั้นส่วนจำลองการแตกร้าวชั้นที่ 2 ถึง 7 มีการขยายของแตกร้าวเป็นแบบ FC ซึ่งถือว่าชั้นส่วนที่เกิดการแตกร้าวลักษณะนี้ไม่สามารถรับแรงกระทำได้อีก แต่ชั้นส่วนที่เหลือยังอยู่ไม่เกิดการแตกร้าวแบบ FC เป็นผลให้

แบบจำลองผนังทึบที่โอบรัดด้วยโครงข้อแข็งคอนกรีตเสริมเหล็กยังสามารถรับแรงกระทำได้อีก
จนถึงสภาวะ I

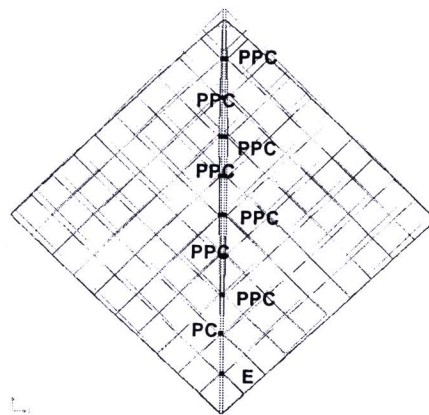
ที่สภาวะ I (ภาพที่ 5.31) มีการแตกร้าวเพิ่มขึ้นจากสภาวะ H โดยพบว่าชิ้นส่วน
จำลองการแตกร้าวชิ้นที่ 8 เกิดการแตกร้าวแบบ FC ขึ้น ซึ่งถือว่าชิ้นส่วนที่เกิดการแตกร้าวลักษณะ
นี้ไม่สามารถรับแรงกระทำได้อีก แต่ชิ้นส่วนที่เหลืออยู่ไม่เกิดการแตกร้าวแบบ FC เป็นผลให้
แบบจำลองผนังทึบที่โอบรัดด้วยโครงข้อแข็งคอนกรีตเสริมเหล็กยังสามารถรับแรงกระทำได้อีก
จนถึงสภาวะ J

ที่สภาวะ J (ภาพที่ 5.32) มีการแตกร้าวเพิ่มขึ้นจากสภาวะ H โดยพบว่าชิ้นส่วน
จำลองการแตกร้าวชิ้นที่ 9 เกิดการแตกร้าวแบบ FC ขึ้น ซึ่งถือว่าชิ้นส่วนที่เกิดการแตกร้าวลักษณะ
นี้ไม่สามารถรับแรงกระทำได้อีก แต่ชิ้นส่วนจำลองการแตกร้าวชิ้นที่ 10 ถึงแม้จะไม่เกิดการ
แตกร้าวแบบ FC แต่ในการศึกษานี้ถือว่าแบบจำลองผนังทึบที่โอบรัดด้วยโครงข้อแข็งคอนกรีต
เสริมวับติด เนื่องจากชิ้นส่วนจำลองการแตกร้าวชิ้นที่ 10 อยู่ใกล้กับฐานรองรับทำให้มีผลจาก
ฐานรองรับซึ่งอาจทำให้เกิดการแตกร้าวแบบ FC ช้ากว่าปกติ จึงไม่นำผลของชิ้นส่วนจำลองการ
แตกร้าวชิ้นที่ 10 มาพิจารณา

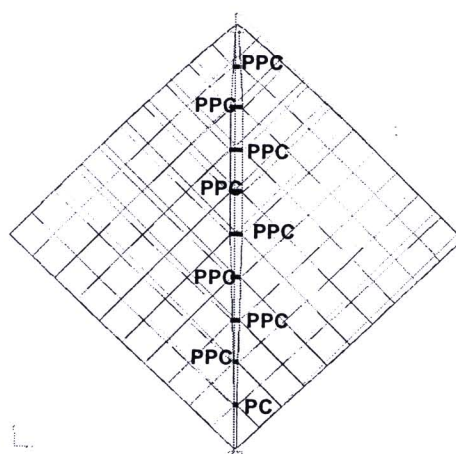
จากผลการวิเคราะห์กลไกการรับแรงของแบบจำลองผนังทึบที่โอบรัดด้วยโครงข้อ
แข็งคอนกรีตเสริมเหล็กสามารถสรุป ดังแสดงในภาพที่ 5.27 ถึง 5.32 โดยที่กลไกการการเกิดการ
แตกร้าวของชิ้นส่วนแบบจำลองการแตกร้าวเป็นไปดังแสดงในภาพที่ 5.33 ถึง 5.41 และสามารถ
หาความสัมพันธ์ระหว่างแรงกับการเคลื่อนที่ ดังแสดงในภาพที่ 5.42



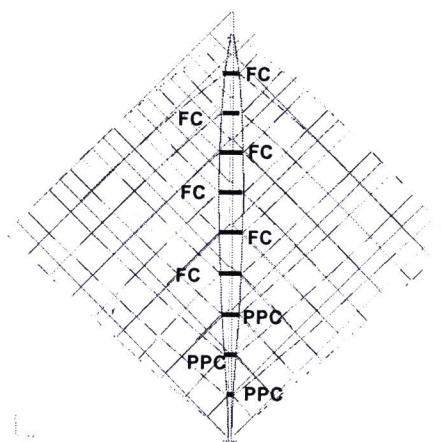
ภาพที่ 5.27 การแตกร้าวของแบบจำลองผนังทึบที่โอบรัดด้วยโครงข้อแข็งคอนกรีตเสริมเหล็ก
สภาวะ E ขยาย 100 เท่า



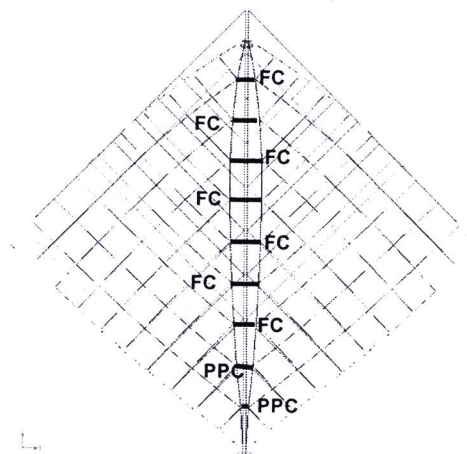
ภาพที่ 5.28 การแตกร้าวของแบบจำลองผนังทึบที่โอบรัดด้วยโครงข้อแข็งคอนกรีตเสริมเหล็กที่สกวาว F ขยาย 100 เท่า



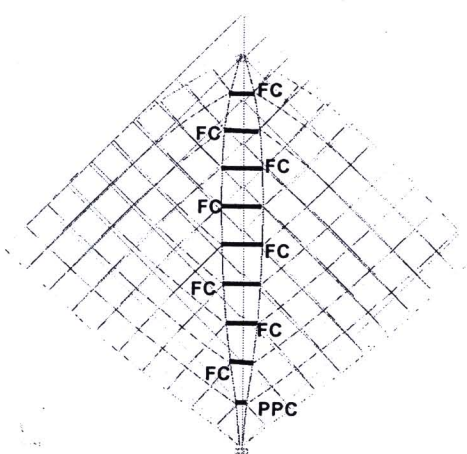
ภาพที่ 5.29 การแตกร้าวของแบบจำลองผนังทึบที่โอบรัดด้วยโครงข้อแข็งคอนกรีตเสริมเหล็กที่สกวาว G ขยาย 100 เท่า



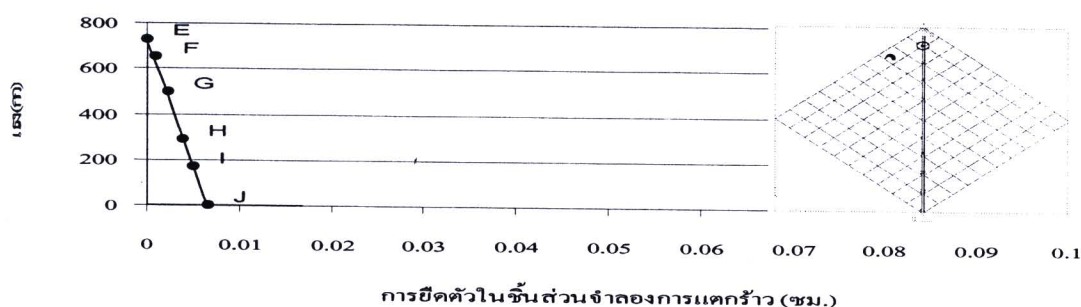
ภาพที่ 5.30 การแตกร้าวของแบบจำลองผนังทึบที่โอบรัดด้วยโครงข้อแข็งคอนกรีตเสริมเหล็กที่สกวาว H ขยาย 100 เท่า



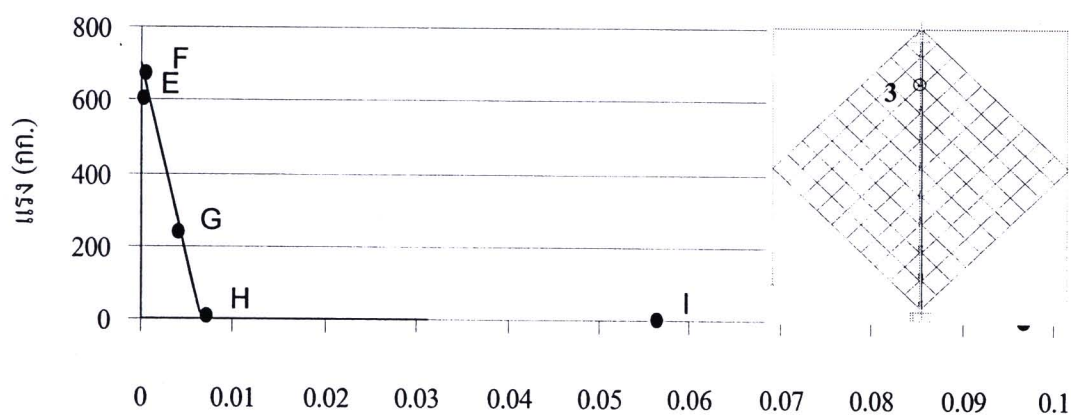
ภาพที่ 5.31 การแตกร้าวของแบบจำลองผนังทึบที่โอบรัดด้วยโครงข้อแข็งคอนกรีตเสริมเหล็ก
ที่สภาวะ I ขยาย 100 เท่า



ภาพที่ 5.32 การแตกร้าวของแบบจำลองผนังทึบที่โอบรัดด้วยโครงข้อแข็งคอนกรีตเสริมเหล็ก
ที่สภาวะ J ขยาย 100 เท่า

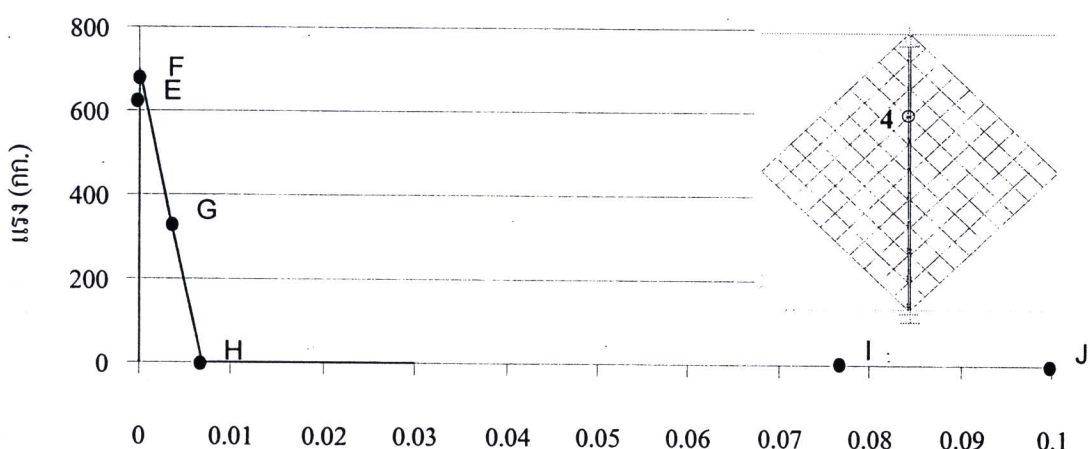


ภาพที่ 5.33 สรุปการเกิดการแตกร้าวของแบบจำลองการแตกร้าวชั้นส่วนที่ 2



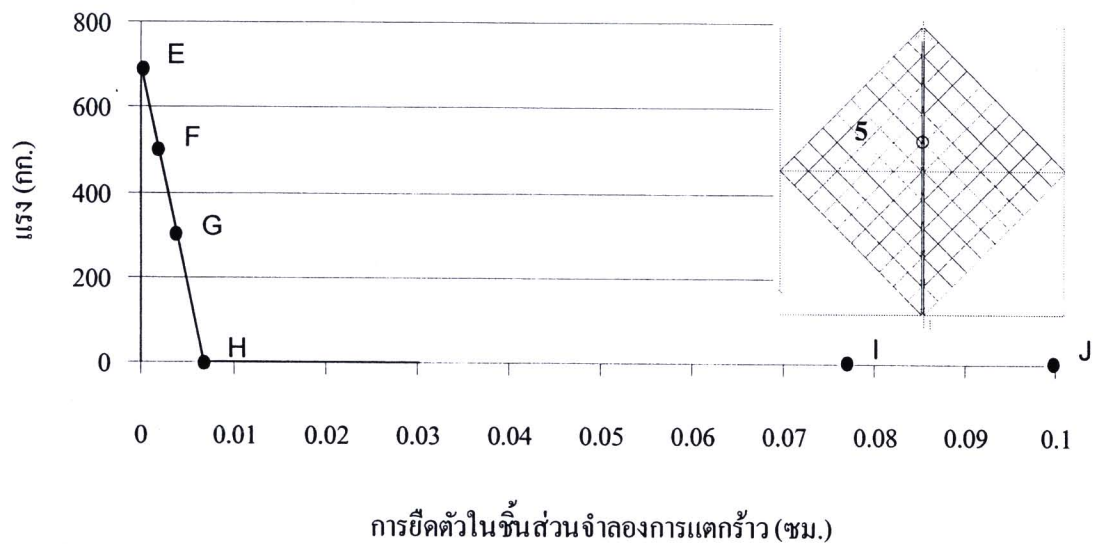
การยึดตัวในชิ้นส่วนจำลองการแตกร้าว (ชม.)

ภาพที่ 5.34 สภาพการเกิดการแตกร้าวของแบบจำลองการแตกร้าวชิ้นส่วนที่ 3

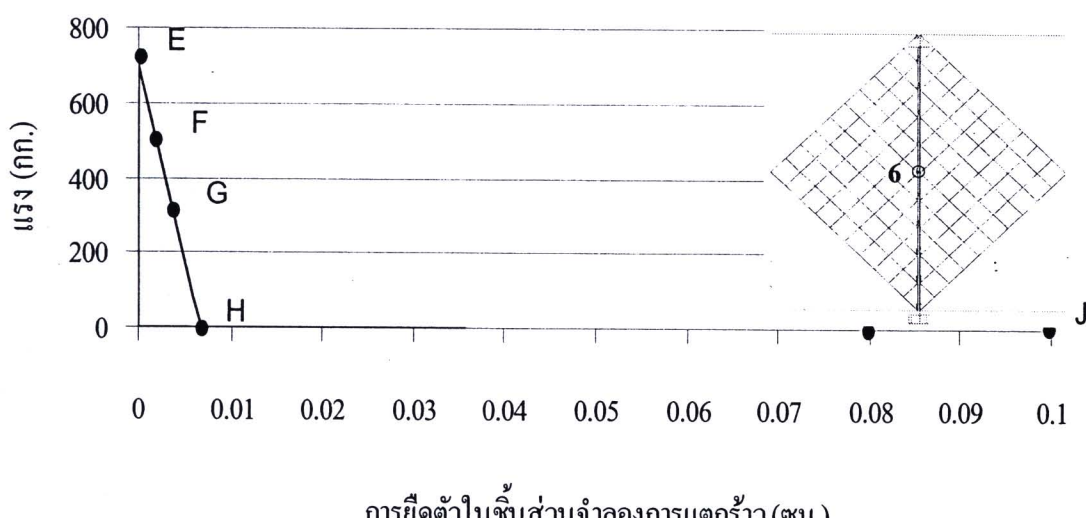


การยึดตัวในชิ้นส่วนจำลองการแตกร้าว (ชม.)

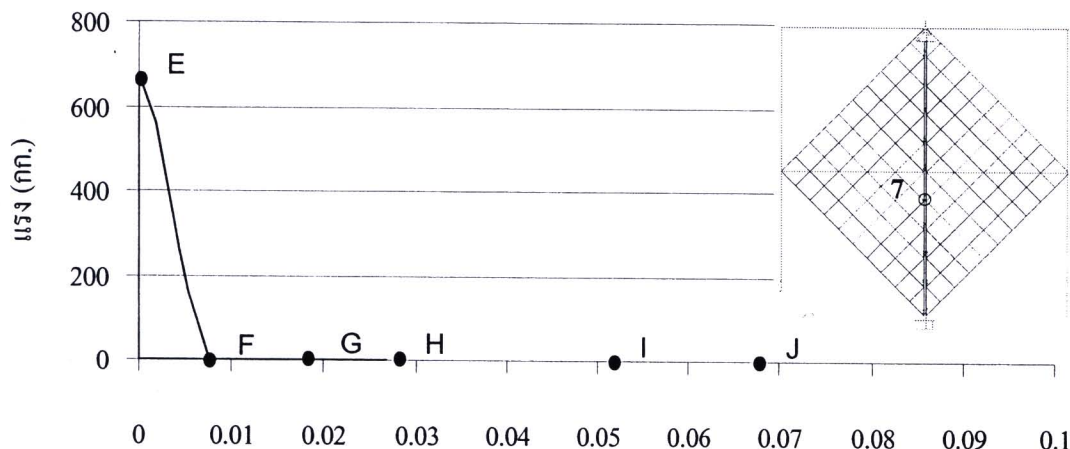
ภาพที่ 5.35 สภาพการเกิดการแตกร้าวของแบบจำลองการแตกร้าวชิ้นส่วนที่ 4



ภาพที่ 5.36 สภาพการเกิดการแตกร้าวของแบบจำลองการแตกร้าวชิ้นส่วนที่ 5

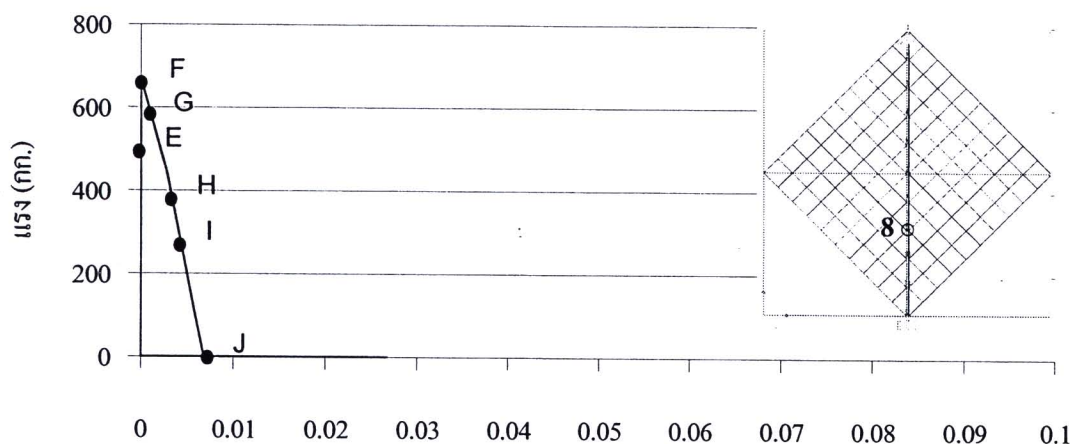


ภาพที่ 5.37 สภาพการเกิดการแตกร้าวของแบบจำลองการแตกร้าวชิ้นส่วนที่ 6



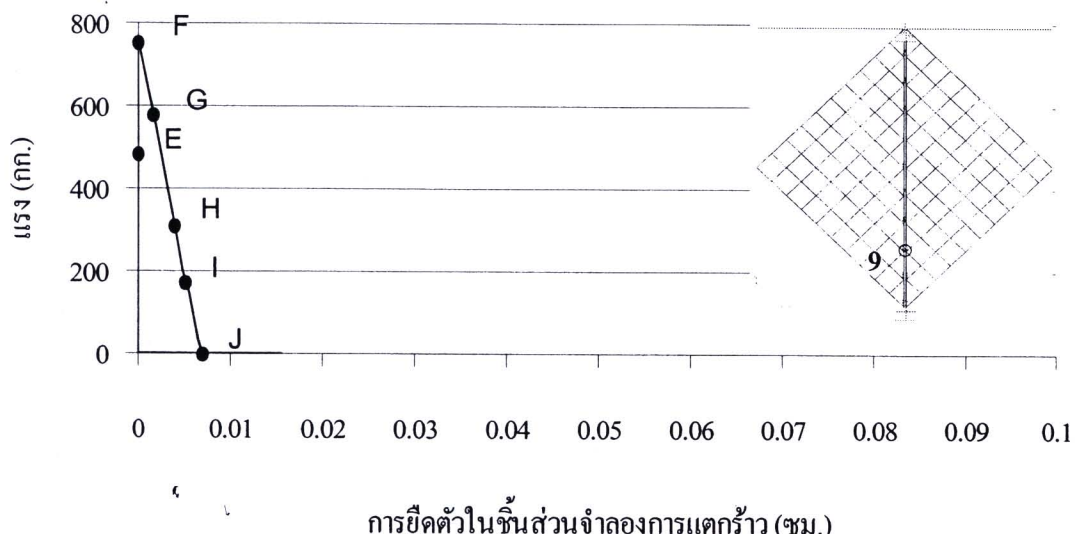
การยึดตัวในชิ้นส่วนจำลองการแตกร้าว (ชม.)

ภาพที่ 5.38 สภาพการเกิดการแตกร้าวของแบบจำลองการแตกร้าวชิ้นส่วนที่ 7

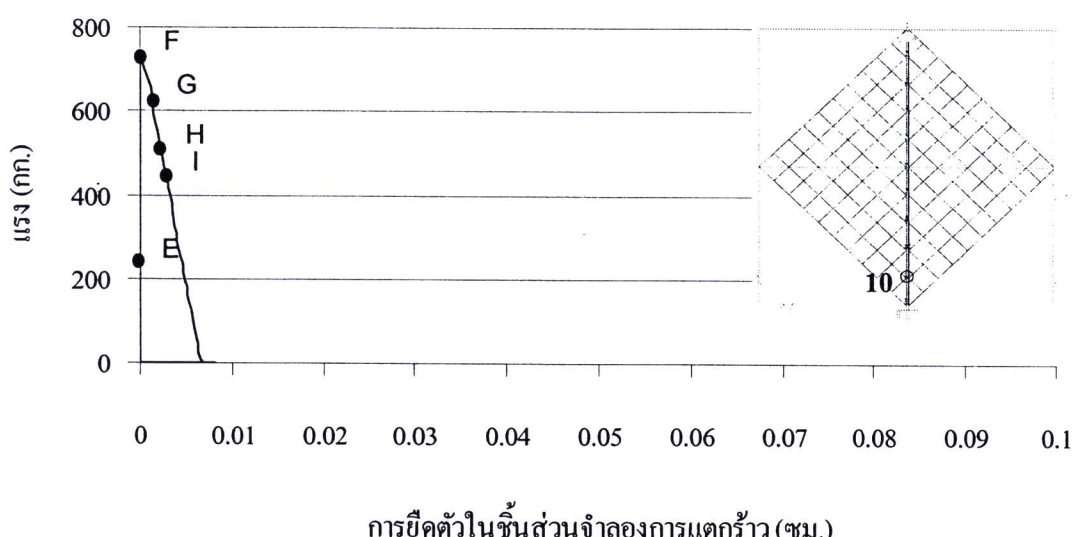


การยึดตัวในชิ้นส่วนจำลองการแตกร้าว (ชม.)

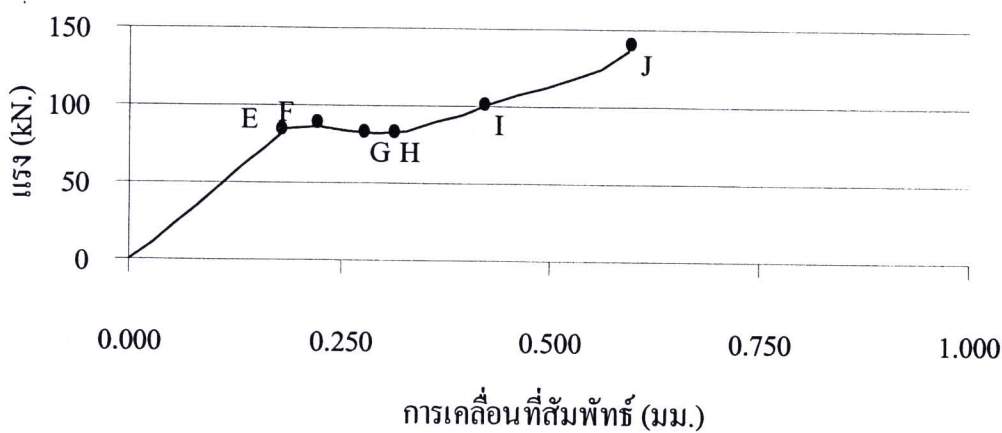
ภาพที่ 5.39 สภาพการเกิดการแตกร้าวของแบบจำลองการแตกร้าวชิ้นส่วนที่ 8



ภาพที่ 5.40 สภาพการเกิดการแตกร้าวของแบบจำลองการแตกร้าวชิ้นส่วนที่ 9



ภาพที่ 5.41 สภาพการเกิดการแตกร้าวของแบบจำลองการแตกร้าวชิ้นส่วนที่ 10



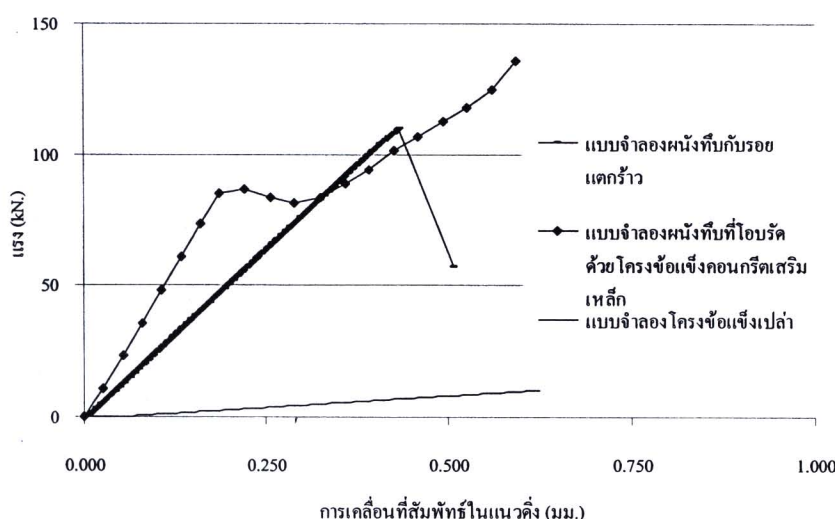
ภาพที่ 5.42 ความสัมพันธ์ระหว่างแรงกับการเคลื่อนที่สัมพัทธ์ (เกจวัดยาว) ของแบนจัลลง พนังทึบที่โอบรัดด้วยโครงข้อแข็งคอนกรีตเสริมเหล็กภายใต้แรงเฉือน

จากภาพที่ 5.34 ถึง 5.42 พบว่า กลไกการทำงานของชิ้นส่วนจัลลงพฤติกรรมการแตกร้าวชิ้นส่วนที่อยู่เหนืออกกับกลางความสูงจะถึงค่าขีดจำกัดของแรงดึงก่อนชิ้นส่วนที่อยู่ต่ำกว่า กึ่งกลางความสูงและมีการแตกร้าวแบบสมบูรณ์แบบก่อน สำหรับชิ้นส่วนที่ 10 เป็นชิ้นส่วนที่อยู่ใกล้กับฐานรองรับซึ่งอาจมีผลการยึดรั้งจากฐานรองรับ ดังนั้นการแตกร้าวแบบสมบูรณ์แบบต้องให้แรงกระทำมากกว่าปกติจึงไม่เป็นพฤติกรรมจริงของชิ้นส่วน ด้วยสาเหตุนี้การวินิจฉัยในพนังทึบจะไม่คำนึงถึงผลของชิ้นส่วนจัลลงพฤติกรรมการแตกร้าวชิ้นที่ 10 สำหรับภาพที่ 5.42 พบว่า เมื่อชิ้นส่วนจัลลงพฤติกรรมการแตกร้าวชิ้นที่ 10 เกิดการแตกร้าวชิ้นพนังทึบเกิดการวินิจฉัยให้ระบบโครงสร้างเกิดการปลดปล่อยพลังงานแรงที่กระทำกับระบบโครงสร้างจึงมีค่าลดลง แต่เนื่องจากเป็นการวิเคราะห์ด้วยวิธีควบคุมการเสียรูปของระบบโครงสร้างจึงมีการเคลื่อนที่เพิ่มขึ้นถึงแม้แรงที่กระทำจะมีค่าลดลง หลังจากนั้นระบบโครงสร้างจะเรียงตัวใหม่เพื่อสร้างความสมดุลทำให้สามารถรับแรงกระทำเพิ่มขึ้นได้ จนเมื่อชิ้นส่วนจัลลงพฤติกรรมการแตกร้าวชิ้นส่วนที่ 9 เกิดการแตกร้าวแบบสมบูรณ์แบบจึงถือว่าพนังทึบที่โอบรัดด้วยโครงข้อแข็งคอนกรีตเสริมเหล็กวินิจฉัยทั้งระบบ สำหรับโครงข้อแข็งคอนกรีตเสริมเหล็กพบว่าพฤติกรรมของวัสดุที่ให้เป็นไปตามข้อกำหนดของ FEMA356 นั้นไม่พบรากурсเกิดของจุดหมุนพลาสติก (Plastic Hinge)

5.3.3 การเปรียบเทียบพฤติกรรมการรับแรงเฉือนของแบบจำลองผนังทึบเปล่ากับผนังทึบที่อบรัคด้วยโครงข้อแข็งคอนกรีตเสริมเหล็ก

จากการศึกษาพฤติกรรมการรับแรงเฉือนของแบบจำลองผนังทึบเปล่ากับผนังทึบที่อบรัคด้วยโครงข้อแข็งคอนกรีตเสริมเหล็ก พบว่าผนังทึบเปล่ามีค่าความแข็งเกร็ง (stiffness) และค่าหน่วงแรงเฉือนประลัยน้อยกว่าผนังทึบที่อบรัคด้วยโครงข้อแข็งคอนกรีตเสริมเหล็กเป็นผลเนื่องจากการอบรัคด้วยโครงข้อแข็งคอนกรีตเสริมเหล็กทำให้ผนังทึบที่มีการอบรัคมีค่าการเปลี่ยนแปลงรูปร่างน้อยกว่าผนังทึบที่ไม่มีการอบรัค ในส่วนพฤติกรรมการรับแรงผนังทึบที่ไม่มีการอบรัค ณ จุดสูงสุดของแรงเฉือน ผนังทึบจะปลดปล่อยพลังงานออกมากทันทีและชี้นส่วนจำลองการแตกร้าวทุกชิ้นส่วนเกิดการแตกร้าวแบบสมบูรณ์แบบผนังทึบที่บก็จะวินาศ เนื่องจากแบบจำลองผนังทึบเปล่าจำลองด้วยพฤติกรรมจากวัสดุกึ่งประจำทำให้ณ จุดวินาศเกิดการปลดปล่อยพลังงานทันที

สำหรับผนังทึบที่อบรัคด้วยโครงข้อแข็งคอนกรีตเสริมเหล็กพบว่า ณ จุดจำกัดสูงสุดของพฤติกรรมแบบยึดหยุ่นผนังทึบจะปลดปล่อยพลังงานทันทีเมื่อนักกับผนังทึบเปล่าแต่เนื่องจากผลจากการอบรัคด้วยโครงข้อแข็งทำให้ผนังทึบไม่เกิดการแยกตัวจากกันเป็นสาเหตุให้แบบจำลองการแตกร้าวบางชิ้นส่วนไม่เกิดการแตกร้าวแบบสมบูรณ์แบบผนังทึบที่อบรัคด้วยโครงข้อแข็งคอนกรีตเสริมเหล็กจึงสามารถรับแรงกระทำได้ต่อไปอีกจนกระทั่งแบบจำลองการแตกร้าวทุกชิ้นส่วนเกิดการแตกร้าวแบบสมบูรณ์แบบจึงจะถือว่าผนังทึบเปล่ากับผนังทึบที่อบรัคด้วยโครงข้อแข็งคอนกรีตเสริมเหล็กวินาศอย่างสมบูรณ์ ดังแสดงในภาพที่ 5.43

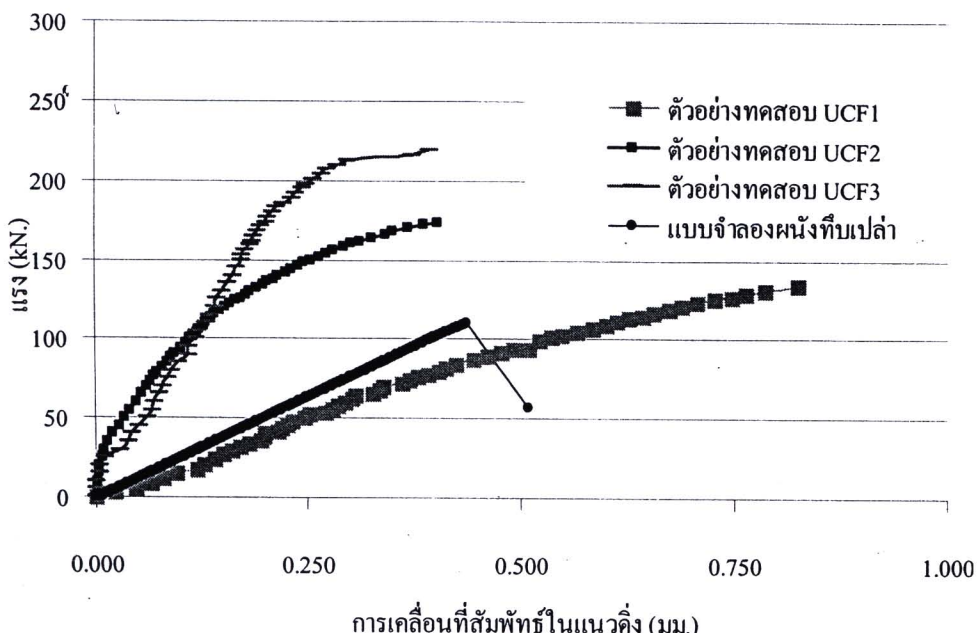


ภาพที่ 5.43 เปรียบเทียบพฤติกรรมการรับแรงเฉือนของแบบจำลองผนังทึบเปล่ากับผนังทึบที่อบรัคด้วยโครงข้อแข็งคอนกรีตเสริมเหล็ก

5.4 การเปรียบเทียบพฤติกรรมจากการทดสอบและพฤติกรรมจากการวิเคราะห์พฤติกรรมของผนังทึบเปล่าและผนังทึบที่โอบรัดด้วยโครงข้อแข็งคอนกรีตเสริมเหล็กภายใต้แรงเฉือน

5.4.1 ผนังทึบเปล่า

จากการศึกษาพฤติกรรมของผนังทึบเปล่าและการจำลองพฤติกรรมของผนังทึบเปล่าด้วยโปรแกรมวิเคราะห์โครงสร้าง SAP2000 สามารถหาความสัมพันธ์ระหว่างแรงกับการเคลื่อนที่ได้ ดังแสดงในภาพที่ 5.44

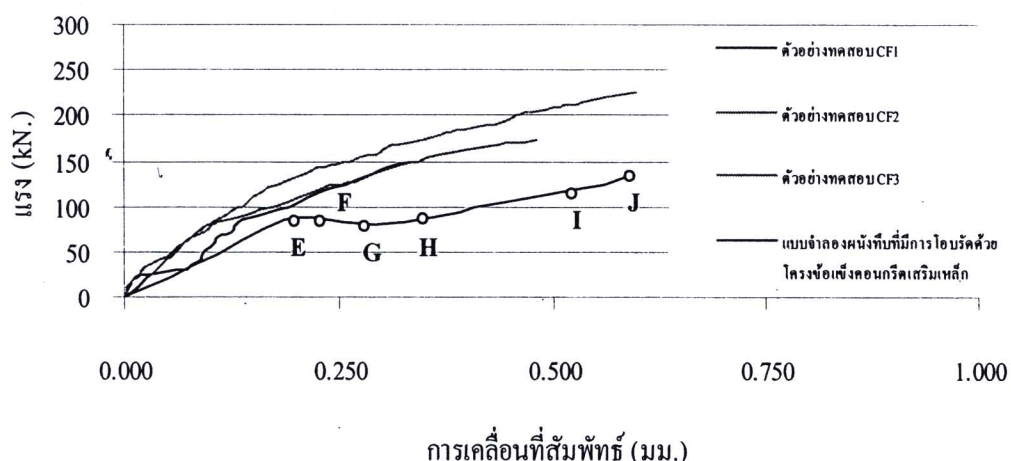


ภาพที่ 5.44 เปรียบเทียบความสัมพันธ์ระหว่างแรงกับการเคลื่อนของผนังทึบเปล่า

จากภาพที่ 5.44 พบว่า กำลังประดับของการทดสอบผนังทึบโดยเฉลี่ยมีค่าประมาณ 178 กิโลนิวตัน ในส่วนกำลังประดับจากการจำลองพฤติกรรมด้วยโปรแกรม SAP2000 มีค่า 120 กิโลนิวตัน สาเหตุของความแตกต่างนี้อาจสืบเนื่องจากผลของคุณสมบัติของวัสดุที่ใช้ในการจำลอง มีความแตกต่างจากที่ปรากฏจริงในการทดสอบ นอกจากนี้ในแบบจำลองที่วิเคราะห์โดยโปรแกรม SAP2000 ยังไม่คำนึงถึงผลของรอยต่อระหว่างก้อนอิฐที่ก่อเป็นผนังทึบทาให้ค่ากำลังนั้นมีค่าคลาดเคลื่อนกัน สำหรับค่าการเคลื่อนที่ ณ จุดประดับนั้นพบว่ามีค่าใกล้เคียงกัน

5.4.2 ผนังทึบที่โอบรัดด้วยโครงข้อแข็งคอนกรีตเสริมเหล็ก

จากการศึกษาพฤติกรรมของผนังทึบที่โอบรัดด้วยโครงข้อแข็งคอนกรีตเสริมเหล็ก และการจำลองพฤติกรรมของผนังทึบที่โอบรัดด้วยโครงข้อแข็งคอนกรีตเสริมเหล็กด้วยโปรแกรม วิเคราะห์โครงสร้าง SAP2000 สามารถหาความสัมพันธ์ระหว่างแรงกับการเคลื่อนที่ได้ ดังแสดงในภาพที่ 5.45



ภาพที่ 5.45 เปรียบเทียบความสัมพันธ์ระหว่างแรงกับการเคลื่อนของผนังทึบที่โอบรัดด้วยโครงข้อแข็งคอนกรีตเสริมเหล็ก

จากภาพที่ 5.45 พนว่ากำลังประลัยของการทดสอบโดยเฉลี่ยมีค่าประมาณ 187 กิโลนิวตัน ในส่วนกำลังประลัยจากการจำลองพฤติกรรมด้วยโปรแกรม SAP2000 มีค่า 130 กิโลนิวตัน สาเหตุของความแตกต่างนี้เนื่องจากผลของคุณสมบัติของวัสดุที่ใช้ในการจำลองที่อาจจะมีค่าต่ำกว่าคุณสมบัติของวัสดุที่ใช้ในการทดสอบจริงและในแบบจำลองที่วิเคราะห์ด้วยโปรแกรม SAP2000 ยังไม่คำนึงถึงผลของรอยต่อระหว่างก้อนอิฐที่ก่อเป็นผนังทึบทำให้ค่ากำลังนั้นน้ำมีค่าคลาดเคลื่อนกัน สำหรับค่าการเคลื่อนที่ ณ จุดประลัยนั้นพบว่ามีค่าใกล้เคียงกัน

จากภาพที่ 5.44 และ 5.45 พนว่าค่าอัตราส่วนของแรงเฉือนประลัยจากการทดสอบ และจากการวิเคราะห์ด้วยโปรแกรม SAP2000 ของผนังทึบเปล่าและผนังทึบที่โอบรัดด้วยโครงข้อแข็งคอนกรีตเสริมเหล็กกับผนังทึบเปล่ามีค่าเท่ากัน 1.06 และ 1.17 ตามลำดับ